

SEDIMENTOLOGÍA DE LAS CUENCAS NEÓGENAS DE ALMERÍA: GUÍA ILUSTRADA.

José M. Martín, Juan C. Braga, Julio Aguirre, Ángel Puga-Bernabéu y José N. Pérez-Asensio.

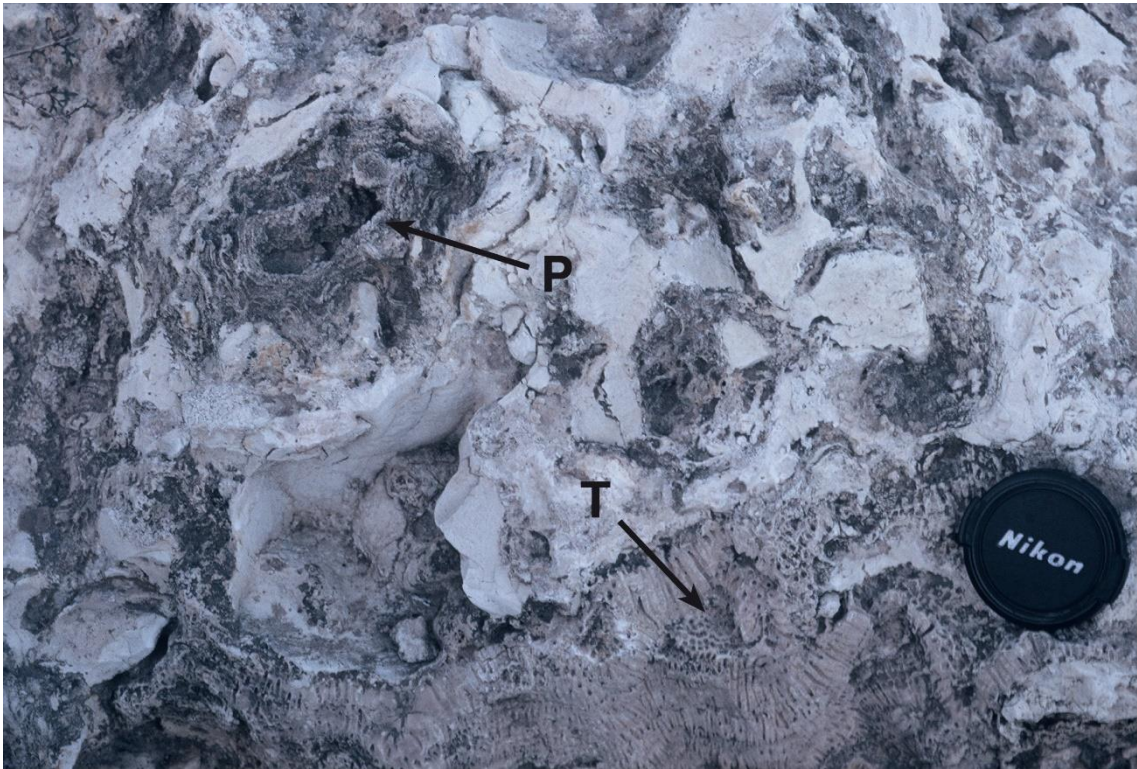
Departamento de Estratigrafía y Paleontología. Universidad de Granada

Cuenca de Almería-Níjar

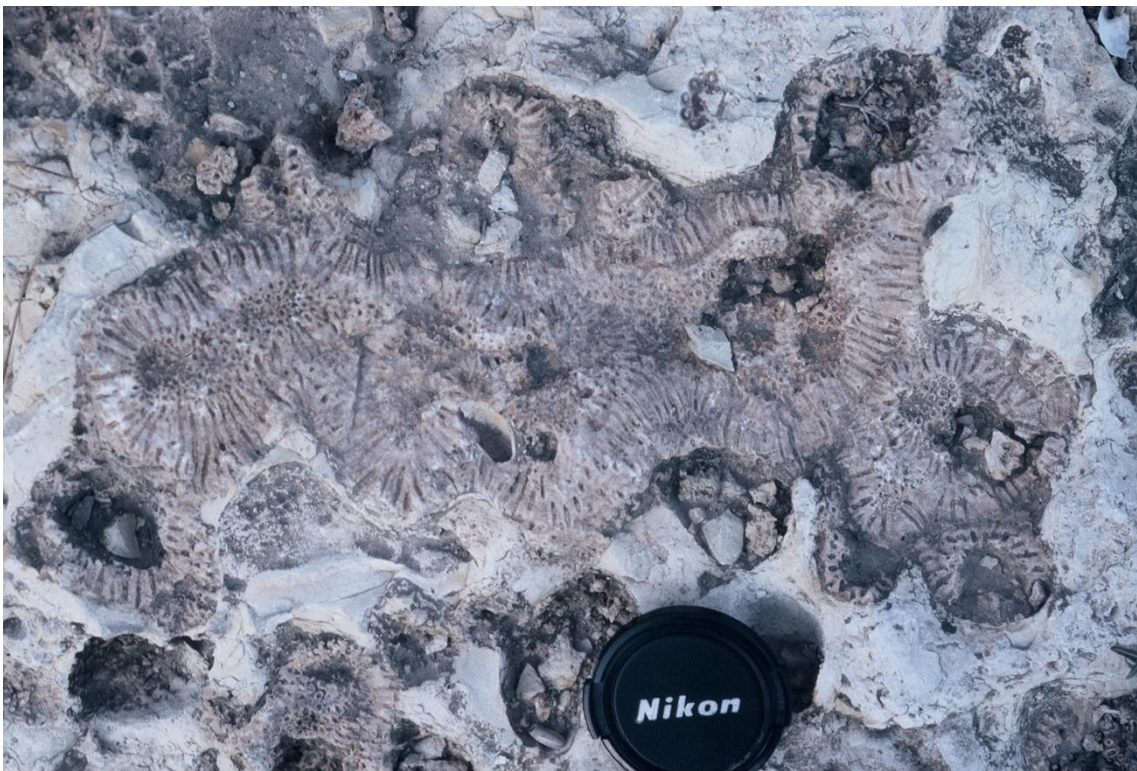
La Unidad de los Biohermos



Fotografía 84.- Biohermo de coral construido esencialmente por *Tarbellastraea* y, en menor medida, *Porites*. El afloramiento como tal desapareció al construirse en la zona un polígono industrial (Cuenca de Almería-Níjar. Huercal de Almería).



Fotografía 85.- Detalle de los crecimientos de *Porites* (P) y *Tarbellastraea* (T) recubiertos por potentes costras micríticas (estromatolíticas) (Cuenca de Almería-Níjar. Huercal de Almería).



Fotografía 86.- *Tarbellastraea* rodeada por costras micríticas de naturaleza estromatolítica (Cuenca de Almería-Níjar. Huercal de Almería).



Fotografía 87.- *Tarbellastraea* en vista de cerca (Cuenca de Almería-Níjar. Huercal de Almería).

El arrecife costero Messiniense de Níjar: Corte geológico

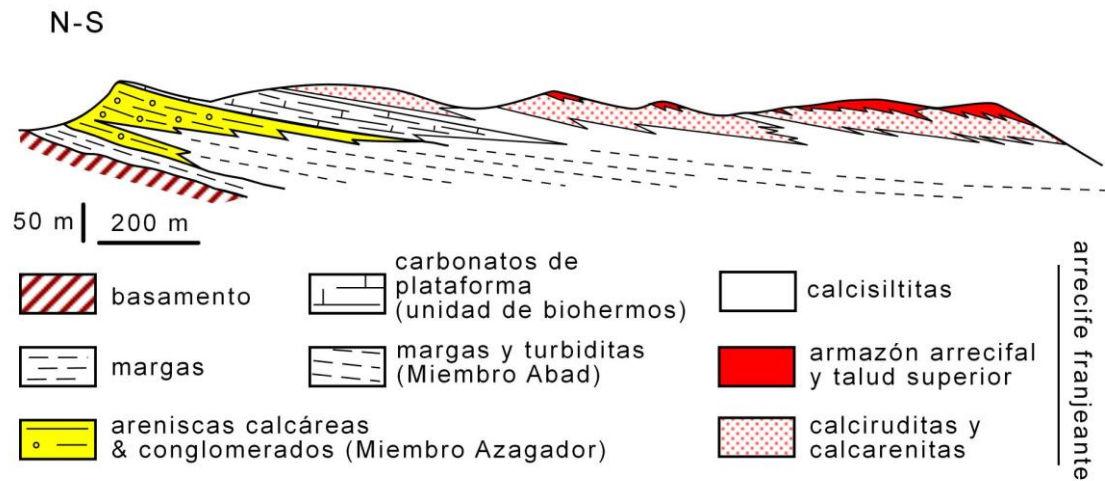


Figura 17. El corte de Níjar (según Jiménez y Braga, 1993; modificado de Dabrio et al. 1981).



Fotografía 88.- Corte geológico que muestra el arrecife progradando hacia el sur sobre sus propios taludes (Cuenca de Almería-Níjar. Níjar).

Los contrafuertes y canales de drenaje del arrecife

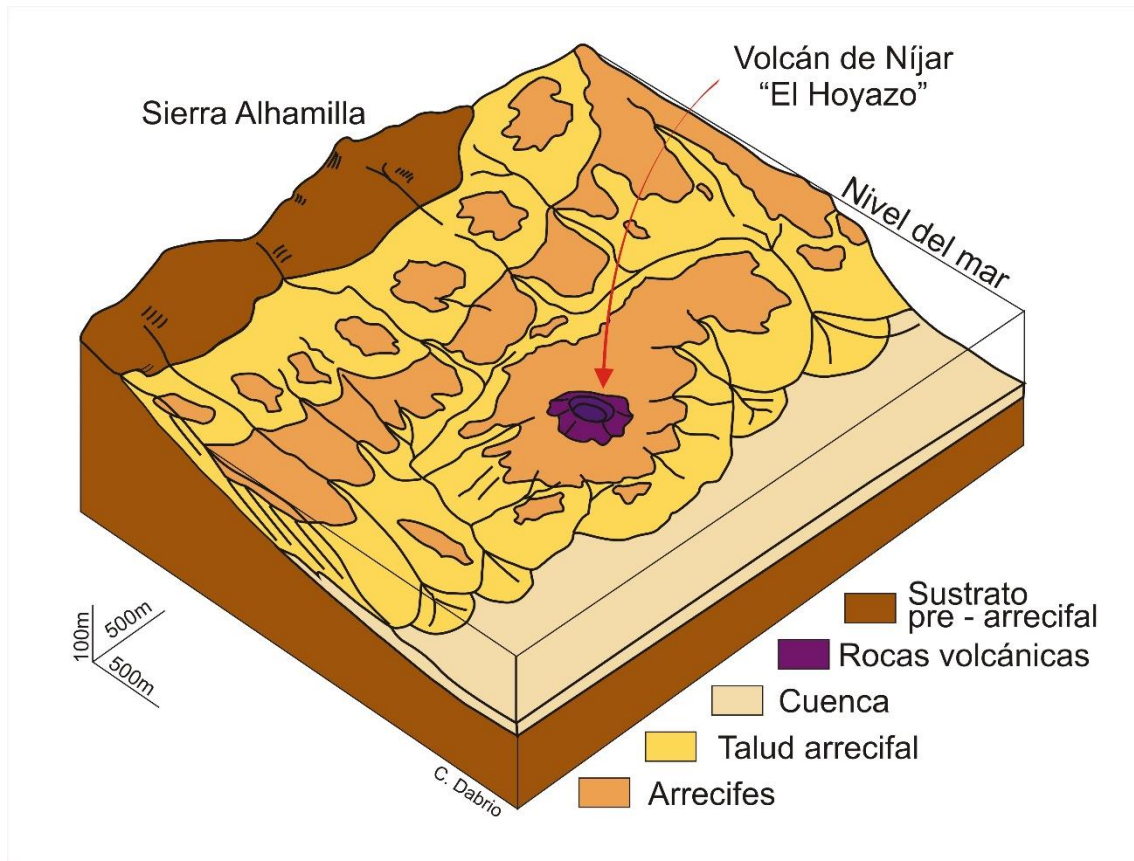
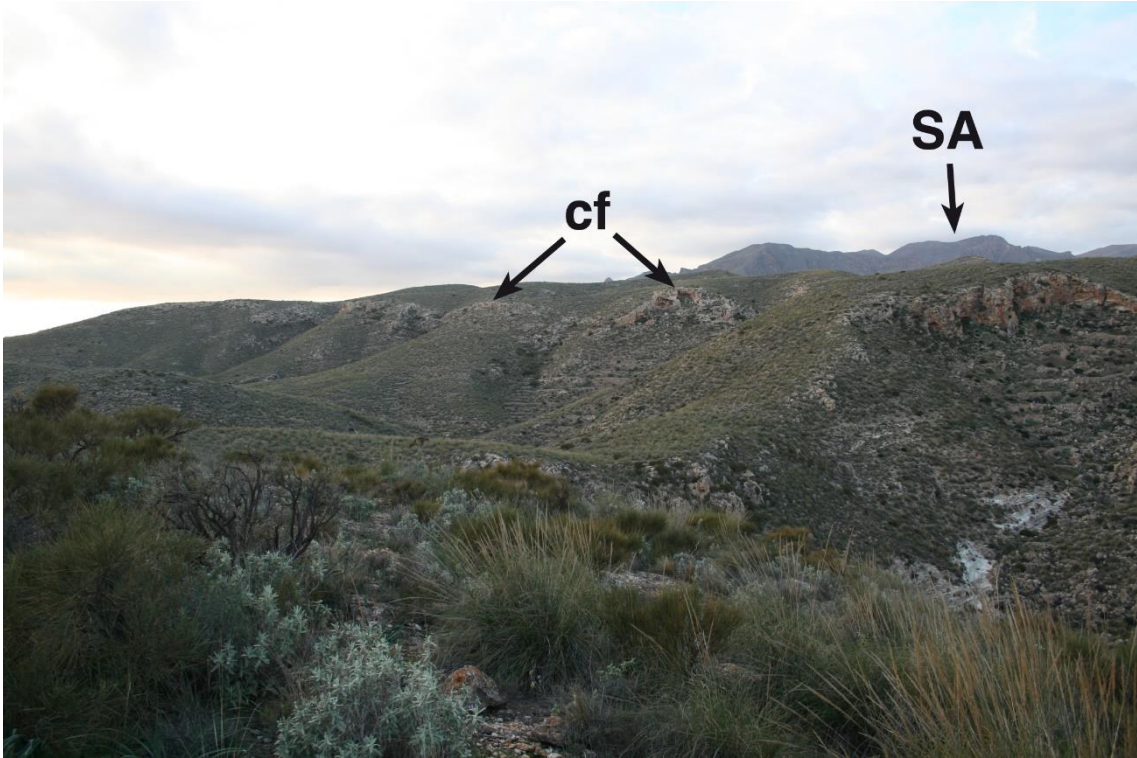


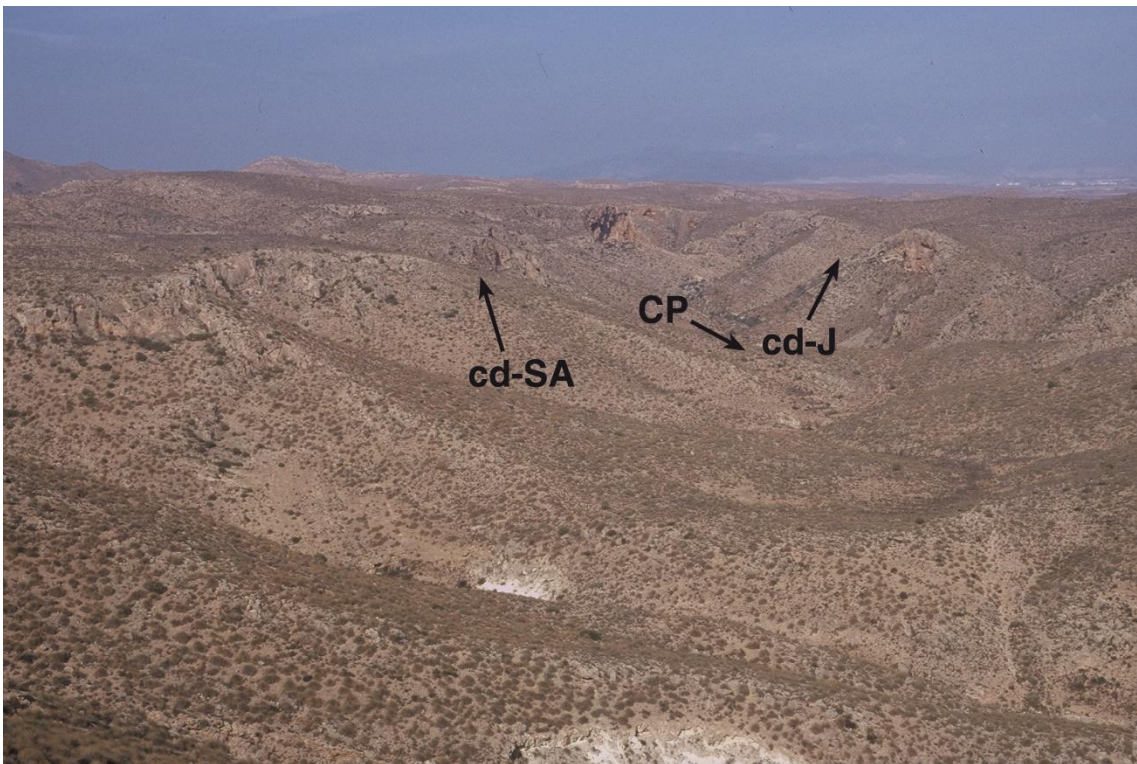
Figura 18. Reconstrucción idealizada del arrecife de Níjar (según Dabrio et al. 1985).



Fotografía 89.- Vista de conjunto del arrecife (mitad occidental) (Cuenca de Almería-Níjar. Níjar).



Fotografía 90.- Sistema de contrafuertes (cf) y canales de drenaje bordeando Sierra Alhamilla (SA) (Cuenca de Almería-Níjar. Níjar).



Fotografía 91.- Canal principal (CP) donde convergen los canales de drenaje que bordean Sierra Alhamilla (cdSA) con los que bordean el Joyazo (cdJ) (Cuenca de Almería-Níjar. Níjar).



Fotografía 92.- Facies de calcarenitas finas del talud distal. Resaltan las trazas de bioturbación, más resistentes a los fenómenos erosivos (Cuenca de Almería-Níjar. Níjar).

El Joyazo

Fotografía 93.- Calizas arrecifales recubriendo parcialmente a las rocas volcánicas del Joyazo. Por detrás de los invernaderos destaca la Serrata de Níjar, en primer término, y, al fondo, la Sierra de Cabo de Gata. Ambas sierras son fundamentalmente volcánicas (Cuenca de Almería-Níjar. Níjar). →

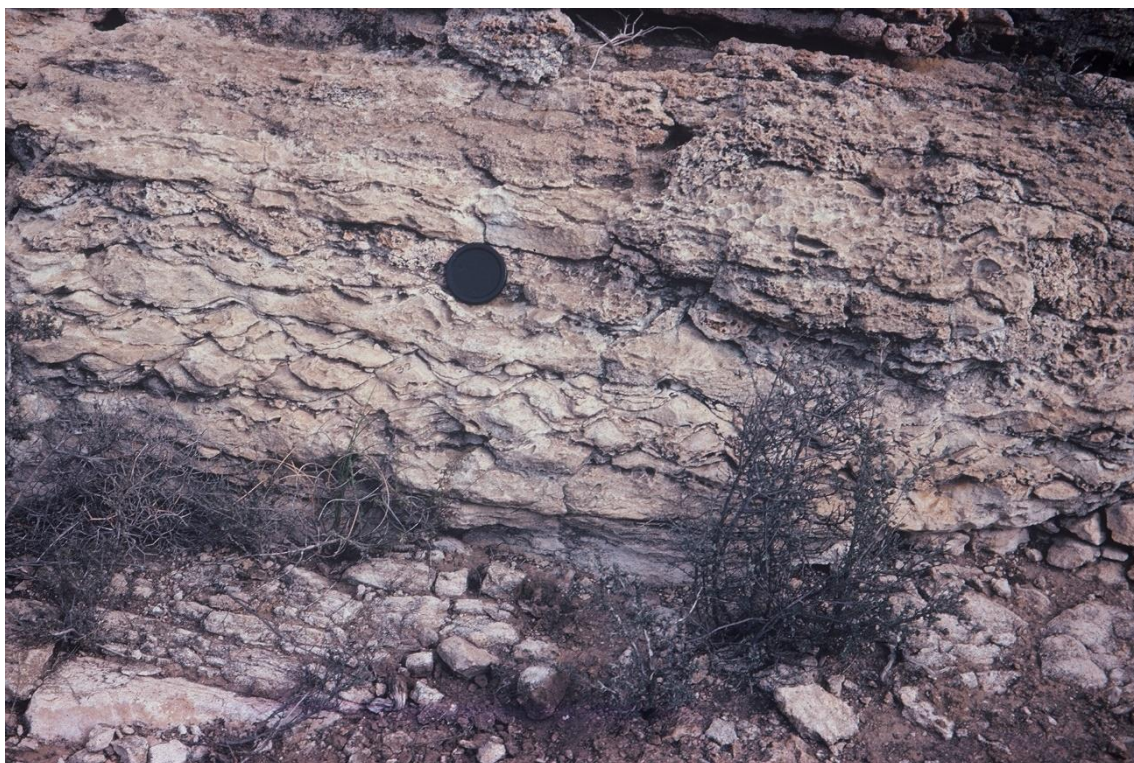


Fotografía 94.- Calizas arrecifales bordeando el hoyo de El Joyazo. El vasar (v) marca la presencia de un nivel más blando (línea gruesa negra), interestratificado en el arrecife, que incluye fragmentos de rocas volcánicas erosionados. En el margen derecho se preservan los restos de una antigua chimenea volcánica (ch) (Cuenca de Almería-Níjar. Níjar).

Los carbonatos del “Complejo Terminal” (Miembro Sorbas) del Messiniense tardío



Fotografía 95.- Calizas oolíticas con estratificación cruzada (Cuenca de Almería-Níjar. Níjar).



Fotografía 96.- “Wave-ripples” (rizaduras de oleaje) simétricos en calizas oolíticas (Cuenca de Almería-Níjar. Níjar).



Fotografía 97.- Domos microbianos (estromatolíticos-trombolíticos) (Cuenca de Almería-Níjar. Níjar).



← Fotografía 98.- Estructura interna de un domo microbiano, con laminación estromatolítica, de horizontal a digitiforme, en su parte basal y aspecto masivo (trombolítico) en su parte alta (Cuenca de Almería-Níjar. Níjar).



Fotografía 99.- Calizas oolíticas finamente laminadas (“wave-ripple lamination”) recubriendo domos trombolíticos (Cuenca de Almería-Níjar. Níjar).

ITINERARIO RECOMENDADO:

Itinerario 4.- Níjar-El Joyazo

Itinerario a pie.

Temática: Arrecifes costeros Messinienses y carbonatos microbianos (estromatolitos y trombolitos) y oolitas del Messiniense terminal.

Duración: Medio día/Un día.

Mapa de localización



Parada 1.- Níjar:

Rasgos observables: 88.

Parada 2.- Barranco del Cebollero (a-b-c):

Rasgos observables: (a) 89 y 91; (b) 92; (c) 90.

Parada 3.- El Joyazo (a-b-c):

Rasgos observables: (a) 93; (b) 94; (c) 95, 96, 97, 98 y 99.